

## ПИКОСЕКУНДНАЯ ФОТОПРОВОДИМОСТЬ В $\text{CdCr}_2\text{Se}_4$

Балинас В., Галдикас А., Кроткус А., Сталненис А., Аминов Т. Г.

При помощи электрооптического устройства стробирования исследована релаксация фотопроводимости в кристаллах  $\text{CdCr}_2\text{Se}_4$ . Установлено, что время жизни неравновесных носителей тока в этом материале равно 9 пс, а эффективность оптоэлектронного переключения достигает 10 %.

1. Полупроводники, времена жизни неравновесных носителей тока в которых составляют всего несколько пикосекунд, в последнее время нашли ряд важных применений в сверхбыстро действующей оптоэлектронике [1]. Такие короткие времена жизни имеют чаще всего аморфные [2] или аморфизированные под воздействием облучения высокозенергетическими частицами [3, 4] материалы. В обоих этих случаях большое количество дефектов структуры обуславливает низкую подвижность носителей тока, поэтому чувствительность пикосекундных фотоприемников незначительна. В связи с этим актуальными являются поиски кристаллических полупроводников, в которых высокая подвижность носителей тока сочеталась бы с быстрой релаксацией неравновесной проводимости. С этой точки зрения перспективным представляется исследование халькогенидных хромовых шпинелей — магнитных полупроводников, в которых наряду с широкими зонами (зоной проводимости *s*-типа и валентной зоной *p*-типа) существуют узкие зоны, образованные из *d*-орбиталей ионов хрома. Фотовозбуждение носителей тока в *s*- и *p*-зонах и их рекомбинация через *d*-зоны могут способствовать удовлетворению обоих вышенназванных требований — высокой подвижности неравновесных носителей и быстрой релаксации фотопроводимости.

Особенный интерес вызывают исследования ферромагнитного полупроводника  $\text{CdCr}_2\text{Se}_4$ , в котором было обнаружено сверхбыстрое (с характерным временем, равным 3.8 пс) гашение фотолюминесценции [5]. Пикосекундная фотопроводимость этого материала измерялась в работах [6-8]. Во всех этих работах время жизни неравновесных носителей тока оказалось меньше, чем временно разрешение экспериментальных установок, которое было равным 60 [6], 25 [7] и 90 пс [8]. В настоящей работе представлены результаты электрооптического измерения релаксации фотопроводимости в  $\text{CdCr}_2\text{Se}_4$ , которые показали, что время жизни неравновесных носителей тока в этом материале близко к 9 пс.

2. При электрооптическом стробировании сверхкоротких электрических импульсов, которое впервые было использовано Вальдманисом в [9], временно разрешение измерений ограничивается лишь длительностью лазерного импульса, поэтому данный экспериментальный метод является самым широкополосным среди всех методов сверхбыстрой оптоэлектроники. В установке электрооптического стробирования исследуемый электрический сигнал распространяется вдоль высокочастотной линии передачи, в которой в качестве диэлектрика использован кристалл ниобата лития. Электрическое поле импульса индуцирует двойное лучепреломление в кристалле (эффект Покельса), обнаруживаемое измерением направления вектора поляризации зондируемого светового импульса, при помощи которого электрооптический кристалл просвещи-

вался в различные моменты времени. Время задержки  $T$  между моментами освещения образца и ячейки плавно изменялось.

Высокочастотная электрооптическая ячейка, использованная в эксперименте настоящей работы, изображена на рис. 1. Она представляет собой отрезок балансной микрополосковой линии, изготовленной на подложке из  $\text{LiNbO}_3$ . Для возбуждения сигнала фотопроводимости в образце и для его электрооптического стробирования использовались две части того же светового импульса, генерируемого лазером на основе аллюмината птрия, легированного ионами неодима. В лазере осуществлялись пассивная синхронизация мод на красителе и управление добротностью резонатора. Импульсы лазера имели следующие параметры: частоту следования импульсов 25 Гц, длительность на полу- высоте и энергию отдельных импульсов первой гармоники излучения лазера ( $\lambda_1=1.079$  мкм) 10 пс и 60 мкДж, второй гармоники ( $\lambda_2=0.539$  мкм) — 7 пс и 3 мкДж.

Исследовались образцы, изготовленные из монокристаллов  $\text{CdCr}_2\text{Se}_4$ , выращенных методом «из раствора в расплаве». На одну из граней образца были

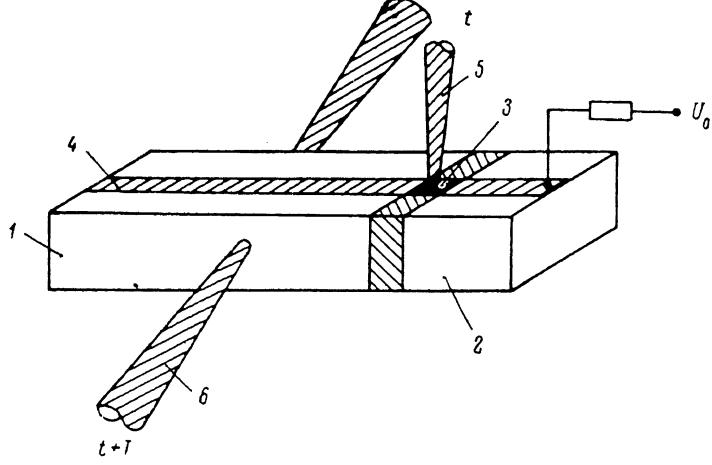


Рис. 1. Высокочастотная электрооптическая ячейка.

1 — кристалл  $\text{LiNbO}_3$ , 2 — керамика поликор, 3 — образец  $\text{CdCr}_2\text{Se}_4$ , 4 — металлическая полоска балансной линии, 5 — возбуждающий световой импульс, 6 — стробирующий оптический импульс.

нанесены контакты из индия, между которыми оставлена фоточувствительная щель шириной 20 мкм. Образцы крепились на стыке между высокочастотной электрооптической ячейкой и отрезком обычной балансной линии, изготовленной на поликоре в качестве диэлектрика. Для питания образцов использовались электрические импульсы длительностью 300 нс с амплитудой до 150 В.

Темновое сопротивление образцов достигало нескольких сот килоом, поэтому электрический сигнал поступал в электрооптическую ячейку лишь после возникновения фотопроводимости. Этот сигнал взаимодействовал в кристалле  $\text{LiNbO}_3$  со стробирующим световым импульсом, изменяя его поляризацию. Изменение поляризации фиксировалось при помощи узкополосного, чувствительного к поляризации света дифференциального фотодетектора.

Измерения проводились при комнатной температуре. Фотопроводимость возбуждалась импульсами как первой, так и второй гармоник; для электрооптического стробирования использовались лишь более короткие импульсы второй гармоники излучения лазера. Результаты измерений, соответствующие каждой величине оптической задержки  $T$ , усреднялись по 500 импульсам лазера; задержка изменялась шагами в 1.5 пс.

3. На рис. 2 показаны результаты измерений релаксации фотопроводимости в  $\text{CdCr}_2\text{Se}_4$ , возбужденной импульсами первой (2) и второй (1) гармоник излучения лазера. Как видно из рисунка, времена нарастания и спада сигналов фотопроводимости близки между собой, что является свидетельством того, что время жизни неравновесных носителей тока в  $\text{CdCr}_2\text{Se}_4$   $\tau$ , является величиной того же порядка, что и длительность лазерного импульса второй гармоники, использу-

зумого при стробировании ( $\tau_i = 7$  пс). Поэтому для определения  $\tau_i$ , было необходимо использовать численное моделирование эксперимента и сравнить результаты моделирования с данными измерений.

Измеряемый на выходе дифференциального фотодетектора электрический сигнал  $U(T)$  пропорционален интегралу

$$U(T) \sim \int E(t-T) P(t) dt. \quad (1)$$

Здесь  $P(t) \sim \exp(-t^2/\sigma^2)$  — временная зависимость интенсивности света в Гауссовом импульсе лазера [ $\sigma = \tau_i(2(\ln 2)^{1/2})$ ], а  $E(t-T)$  представляет собой напряженность электрического поля, индуцируемого в электрооптической ячейке сигналом фотопроводимости. Этот сигнал прямо пропорционален концентрации неравновесных носителей тока в образце в соответствующие моменты

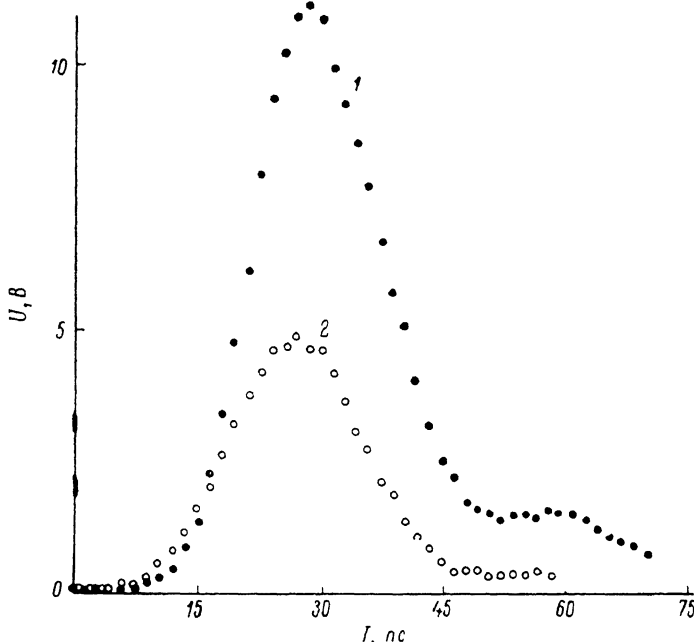


Рис. 2. Импульсы фотопроводимости, возбуждаемые первой (2) и второй (1) гармониками лазерного излучения.

времени  $n(t-T)$ . Для определения  $n(t-T)$  можно использовать уравнение непрерывности, в котором учтены генерация неравновесной плазмы импульсом  $P(t)$  и ее рекомбинация со скоростью  $\tau_i^{-1}$ :

$$\frac{dn(t)}{dt} = AP(t) - \frac{n(t)}{\tau_i}, \quad (2)$$

где

$$A = \frac{\sqrt{\pi} \varepsilon \alpha (1-R) \tau_i^2}{4 \ln 2 h v w d} \quad (3)$$

( $d, w$  — геометрические размеры фоточувствительной щели,  $\alpha$  — коэффициент поглощения,  $R$  — коэффициент отражения,  $h\nu$  — энергия кванта излучения лазера,  $\varepsilon$  — энергия светового импульса, падающего на щель).

Решение уравнения (2) имеет вид

$$n(t) = \frac{\sqrt{\pi} A \varepsilon}{2} \exp\left(\frac{\sigma^2}{4\tau_i^2}\right) \left[ \operatorname{erf}\left(\frac{t}{\sigma} - \frac{\sigma}{2\tau_i}\right) + 1 \right] \exp\left(-\frac{t}{\tau_i}\right). \quad (4)$$

Это решение подставлялось в выражение (1), которое интегрировалось численно для различных значений параметра  $\tau_i$  — времени жизни неравновес-

ных носителей тока. На рис. 3 показано сравнение результатов моделирования с экспериментом. Все зависимости на этом рисунке нормированы к максимальному значению амплитуды, расчетные кривые соответствуют временам жизни 4.5, 9 и 13.5 пс. Как видно из рисунка, экспериментальные точки хорошо описываются расчетной зависимостью, полученной при  $\tau_i = 9$  пс.

По сравнению с известными в литературе пикосекундными фотопроводниками исследованные нами образцы  $\text{CdCr}_2\text{Se}_4$  обладают большой эффективностью оптоэлектронного переключения, которое определяется как отношение сигнала фотопроводимости к напряжению питания. В случае освещения фоторезистора из  $\text{CdCr}_2\text{Se}_4$  импульсами второй гармоники лазера это отношение достигало 10 %. Для фоторезисторов же из аморфного кремния, имевших сравнимые с обнаруженными в настоящей работе временами восстановления темнового сопротивления, эффективность переключения была значительно меньше (0.01—0.1 %).

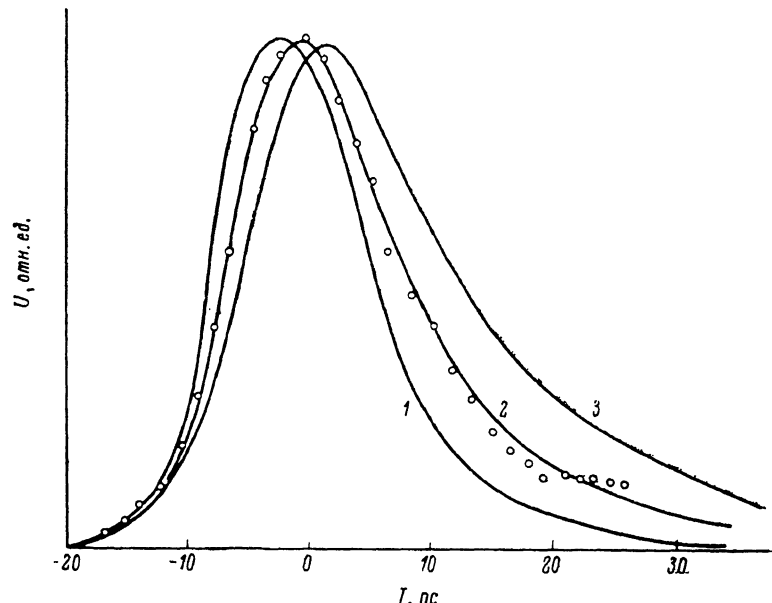


Рис. 3. Импульсы фотопроводимости, возбуждаемые второй гармоникой лазера.

Сплошные кривые — теоретическое численное моделирование, точки — эксперимент. 1, 2 и 3 рассчитаны с использованием времен жизни неравновесных носителей заряда 4.5, 9 и 13.5 пс соответственно.

Эффективность оптоэлектронного переключения в основном определяется подвижностью фотовозбужденных носителей тока. Величину подвижности можно оценить по амплитуде фототока. При этом необходимо принять во внимание уменьшение этой амплитуды, которое, согласно (4), происходит из-за рекомбинации неравновесных носителей тока за время действия на образец лазерного импульса. Оценка подвижности фотовозбужденных носителей тока в  $\text{CdCr}_2\text{Se}_4$  при интенсивности света  $10^7$ — $10^8$  Вт/см<sup>2</sup> дала величину  $\approx 7$  см<sup>2</sup>/В·с. Это намного превосходит значение 0.037 см<sup>2</sup>/В·с, полученное из пикосекундной фотопроводимости в [8], однако по порядку величины совпадает с данными о холловской подвижности дырок в *p*-зоне  $\text{CdCr}_2\text{Se}_4$  [10, 11].

При возбуждении фоторезисторов из  $\text{CdCr}_2\text{Se}_4$  импульсами основной гармоники лазера максимальная эффективность оптоэлектронного переключения была несколько меньше ( $\sim 2$  %), чем в случае использования света второй гармоники. Однако эта величина является довольно значительной, в особенности если принять во внимание тот факт, что энергия кванта в этом случае ( $h\nu_1 = 1.15$  эВ) значительно меньше, чем ширина запрещенной зоны  $\text{CdCr}_2\text{Se}_4$  при комнатной температуре ( $E_g = 1.6$  эВ). Поэтому возникает вопрос о механизме генерации столь большого числа неравновесных носителей тока в  $\text{CdCr}_2\text{Se}_4$  светом, энергия кванта которого меньше края собственного поглощения. В работе [8] был сделан вывод, что излучение на длине волн основной гармоники неодимового

лазера приводит к переходам электронов между уровнями дефектов в запрещенной зоне и зоной проводимости. Однако к фотопроводимости на данной длине волны могут привести и двухфотоны процессы поглощения света. Для ответа на этот вопрос были измерены люксамперные характеристики пикосекундной фотопроводимости в  $\text{CdCr}_2\text{Se}_4$ .

Результаты таких измерений, проведенных для обеих использованных в нашей работе длин волн световых импульсов, представлены в (двойном логарифмическом масштабе) на рис. 4. По оси ординат отложены относительные величины амплитуды сигнала фотопроводимости. Результаты, полученные при длине волны  $\lambda_2 = 0.539 \text{ мкм}$ , хорошо описываются прямой, имеющей единичный наклон, что соответствует обычному межзонному фотовозбуждению. В то же время прямая, которую можно провести через экспериментальные точки, полученные при  $\lambda_1 = 1.079 \text{ мкм}$ , имеет наклон, равный 2. Это свидетельствует о том, что в данном случае имеет место двухфотоное поглощение.

4. Представленные в настоящей работе результаты показывают, что фоторезисторы, из-

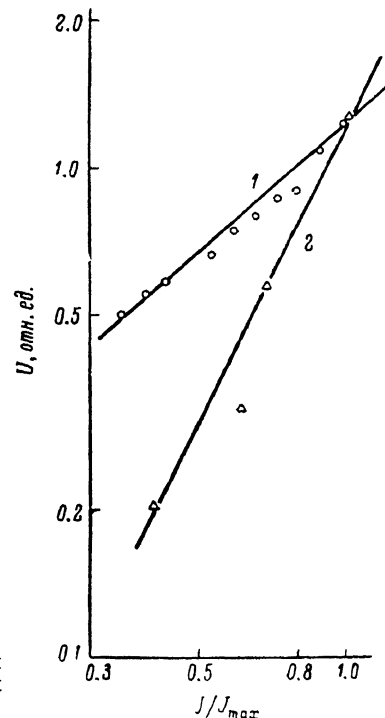


Рис. 4. Зависимости амплитуды импульсов фотопроводимости от интенсивности лазерного излучения первой гармоники  $\lambda_1 = 1.079 \text{ мкм}$  (2) и второй гармоники  $\lambda_2 = 0.539 \text{ мкм}$  (1).

готовленные на основе магнитного полупроводника  $\text{CdCr}_2\text{Se}_4$ , имеют времена восстановления темнового сопротивления порядка 9 пс и значительную чувствительность. Это позволяет надеяться на то, что они найдут широкое применение в пикосекундной оптоэлектронной технике.

В заключение авторы благодарят А. Галванаускаса за помощь, оказанную при численном моделировании.

#### Список литературы

- [1] Picosecond optoelectronic devices / Ed. by C. H. Lee. Orlando etc., 1984.
- [2] Auston D. H., Johnson A. M., Smith P. R., Bean J. C. // Appl. Phys. Lett. 1980. V. 37. N 4. P. 371—374.
- [3] Wang C. L., Pocka M. D., Morse J. D., Singh M. S., Devis B. A. // SPIE Proc. 1987. V. 836. P. 15—18.
- [4] Hammond R. B., Paulter N. G., Wagner R. S. // Appl. Phys. Lett. 1984. V. 45. N 3. P. 289—291.
- [5] Ho P. P., Lam W., Katz A., Yao S. S., Alfano R. R. // IEEE J. Quant. Electron. 1986. V. QE-22. N 1. P. 201—206.
- [6] Адомайтис Э., Галдикас А., Шабунина Г. Г. // ФТТ. 1987. Т. 29. В. 1. С. 266—268.
- [7] Викторовичюс В. С., Галдикас А. П., Гребинский С. И., Захаров С. Я., Аминов Т. Г., Шабунина Г. Г. // ФТТ. 1988. Т. 30. В. 11. С. 3465—3467.
- [8] Walser A. D., Alfano R. A. // Appl. Phys. 1988. V. B47. P. 273—275.
- [9] Valdmanis J. // Thesis submitted for the Degree of Doctor of Philosophy. N. Y., 1983.
- [10] Lehmann H. W. // Phys. Rev. 1967. V. 162. N 2. P. 488—496.
- [11] Kodama K., Niimi T. // Japan. J. Appl. Phys. 1980. V. 19. N 2. P. 307—315.